УДК 553.22/27

ПЕТРОГРАФИЯ

В. В. ЗОЛОТУХИН

О РЕЛИКТАХ МЕТАСОМАТИЧЕСКОЙ ЗОНАЛЬНОСТИ В СПЛОШНЫХ СУЛЬФИДНЫХ РУДАХ НОРИЛЬСКА И ТАЛНАХА

(Представлено академиком В. С. Соболевым 14 XII 1971)

В последнее время в связи с детальным изучением геологии и вещественного состава тел сплошных сульфидных руд интрузий Норильск 1 и Талнахской в некоторых из них были обнаружены многочисленные включения силикатов, представляющие исключительный интерес в познании генезиса самих руд. Включения имеют, как правило, небольшие размеры, от первых миллиметров до первых сантиметров, причудливые лоскутовидные и округлые формы и явно не могут быть истинными ксенолитами (рис. 1). Судя по взаимоотношениям со сплошными сульфидами, они могут быть только метасоматически измененными реликтами замещаемых

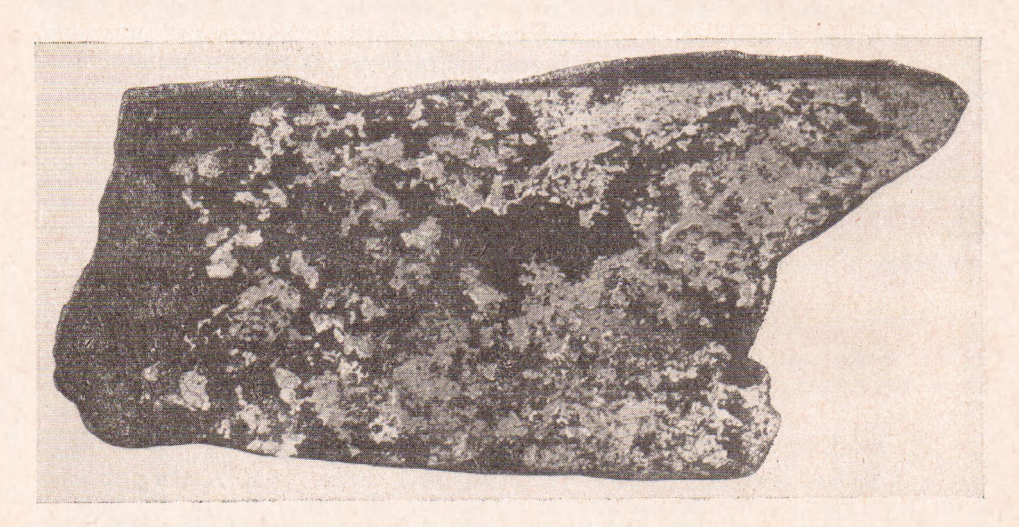


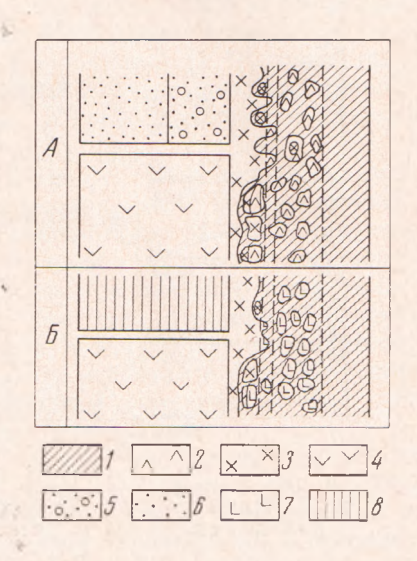
Рис. 1. Форма включений силикатов (черное) в эндоконтакте одного из тел силошных сульфидов Талнаха, Рудник «Маяк», Обр. Ма-7. $^9/_{10}$ нат. вел.

сульфидами пород (руды замещения), причем по мере приближения к контактам количество включений возрастает и в экзоконтакте это уже лишь вкрапленность сульфидов среди силикатов, в то время как в центральной части рудных тел включения могут полностью отсутствовать.

Как показывает изучение под микроскопом, минеральный состав включений достаточно разнообразен (6). Тем не менее, по ведущим бинарным парагенезисам представляется возможным выделить три типа включений: 1) кварц-полевошпатовые, 2) плагиоклаз-клинопироксеновые и 3) плагиоклаз-фаялитовые. Наблюдаются среди сульфидов также отдельные зерна минералов, слагающие эти парагенезисы, а также чешуйки красновато-бурого биотита и зеленой роговой обманки. Если первые два типа парагенезисов наблюдаются как в высокожелезистых, так и метасоматитах обычной железистости, то фаялитсодержащие парагенезисы наблюдаются только в метасоматитах с повышенной железистостью феми-

ческих минералов, где роговая обманка обычно отсутствует. Фаялит-плагиоклазовые метасоматиты из руд были описаны нами ранее (3). Краткая характеристика оптических свойств и состава минералов из исследованных метасоматитов приводится в табл. 1 в (6). Структура пород изменяется от гипидиоморфно-зернистой до гранобластовой. Положение включений различного состава относительно тела сплошных сульфидов может быть иллюстрировано схемой, составленной по материалам, относящимся к Норильску 1 и Талнаху (рис. 2). Как видно, в общем случае крайней периферической зоной являются метасоматиты кварц-полевошпатового состава. Ими же могут быть представлены включения в крайних периферических частях тел сплошных сульфидов. Интересно подчеркнуть развитие метасоматитов такого состава с микропегматитовой структурой и присутствием метасоматического клинопироксена в подчиненном количестве

Рис. 2. Схема зональности для реально наблюдаемых случаев присутствия плагиоклаз-фаялитовых (A) и плагиоклаз-клиношроксеновых (B) метасоматитов в исследуемых участках сплошных руд интрузий Норильск 1 (A) и Талнахской (B). 1—сплошные сульфиды, без включений («ксеполитов»); 2—плагиоклаз-фаялитовые включения среди сульфидов и реликты плагиоклаз-фаялитовой реставрируемой нами зоны с сульфидами; 3— кварц-полевошпатовая зопа с вкрапленностью сульфидов и включения среди руд; 4— габбродолериты; 5—слабо метаморфизованный песчаник; 6— песчаник; 7— плагиоклаз-клинопироксеновые включения среди сульфидов и реликты реставрируемой нами зоны этого состава с сульфидами; 8— альбититы вмещающей толици



на продолжении сульфидных жил в лабрадоровых порфиритах ближнего экзоконтакта интрузии Норильск 1 (см. (2)), а также мелких ореолов таких кварц-полевошнатовых метасоматитов вокруг крупных расслоенных вкрапленников, типа шлиров, в контактовых габбро-долеритах этой интрузии, которые не содержат первичного кварца. Габбро-долериты в этом случае взаимодействуют с растворами с появлением кварц-полевоппатовых новообразований, уже находящихся в равновесии с сульфидами. В кварц-полевошпатовые метасоматиты с пылевидной вкрапленностью рудных минералов (вплоть до анхимономинеральных рудных «прослоев») превращаются местами песчаники экзоконтакта и в случае интрузии Норильск 1, и Талнахской. Интересно отметить также «слабо метаморфизованные песчаники», пропитанные сульфидами, - как находящиеся в экзоконтакте кварц-полевошпатовых зон (рис. 2), так и непосредственно образующие самостоятельные ореолы вокруг сульфидных жил в песчаниках без видимого участия кварц-полевошпатовых матасоматитов. Наблюдаются в сульфидах также самостоятельные включения плагиоклаз-пироксеновых, фаялит-пироксен-плагиоклазовых метасоматитов без какого-либо участия кварц-полевошпатовых метасоматитов. Плагиоклаз-фаялитовые и плагиоклаз-клинопироксеновые метасоматиты в виде включений могут проявляться порознь, независимо друг от друга.

Для объяснения присутствия в сплошных рудах метасоматитов упомянутого состава обратимся к рассмотрению одной из построенных нами (6) мультисистем с одной отрицательной степенью свободы (7) в координатах химических потенциалов (μ) подвижных компонентов μ (Na, K) $_2$ O — μ H $_2$ O. Исходя из оптических данных, приведенных в (6), а также химико-анали-

тических данных для близких, судя по оптическим характеристикам (1, 10, 11), минералов из метасоматитов, описанных ранее (5), мы составили следующую матрицу для инертных компонентов (см. табл. 1) для расчета

диаграммы.

Как можно видеть из рис. З, каждый из выделяемых типов метасоматитов на диаграмме имеет свое поле устойчивости. Кварц-полевошпатовые метасоматиты (поле устойчивости парагенезиса Кв, Аб, Пирр) возникают в условиях максимальных μ (K, Na)₂O. Плагиоклаз-фаялитовые метасоматиты (поле устойчивости парагенезиса Пл-Фа) возникают при

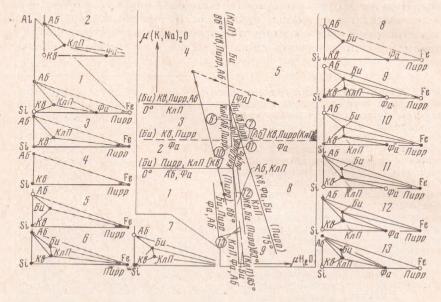


Рис. 3. Мультисистема μ (Na, K) $_2$ O — μ H $_2$ O для метасоматитов с повышенной железистостью (с участием фаялита). Объяснения в тексте

минимальных значениях $\mu(K, Na)_2O$. Промежуточное между инми поле устойчивости плагиоклаз-клипопироксеновых метасоматитов (парагенезис Аб, Кли, Пирр) характеризуется умеренными значениями $\mu(K, Na)_2O$. Все поля устойчивости указанных парагенезисов характеризуются низкими $\mu(H_2O)$ (т. е. наиболее высокими температурными условиями). Чтобы перейти от периферических (и, следовательно, наиболее ранних, см. рис. 2) кварц-полевошпатовых метасоматитов к включениям метасоматитов, располагающихся ближе к центральным частям жил, необходимо существен-

Таблица 1 Матрица для рассчитываемой ассоциации минералов

Минерал	Матрица для инерт- ных компонентов			
	Si	Al	Σ Fe	Кристаллохимическая формула
Клинопироксеп (КлП)	1,71	0,22	0,47	$\begin{array}{c} {\rm Ca_{0,90}Na_{0,06}K_{0,01}Mg_{0,56}Fe_{0,30}^{2+}Fe_{0,17}^{3+}}\left[{\rm (Al_{0,22}\cdot \atop \cdot {\rm Ti_{9,07}Si_{1,71})_{2}O_{6}}} \right] \end{array}$
Биотит (Би)	3,13	0,96	0,93	$K_{0,58}Na_{0,08} (H_3O)_{0,33}Ga_{0,55}Mn_{9,91}Mg_{2,02}$. $\cdot Fe_{0.85}^{2+}Fe_{0.08}^{3+}Ti_{0,15}Al_{0,09} [(OH)_{1,14}F_{0,-5}]$.
Фаялит (Фа)	1	0	1,8	$O_{0,81} _{2,0} (AI_{0,87}Si_{3,13})_{4,0}O_{10} (Mg_{0,2}Fe_{1,8})_{2,0}SiO_{4}$
Полевой шпат (Аб)	$\frac{3}{2,7}$	1 1.3	0	l от (Na, K) AlSi ₃ O ₁₀ до 0,3CaAl ₂ Si ₂ O ₈ .
Кварц (Кв) Пирротин (Пирр)	1 0	0 0	0	SiO ₂ FeS

ное понижение в растворах μ(K, Na)₂O при незначительном возрастания µН₂О (падении температуры), как это отмечено на диаграмме сплошной линией. В случае более интенсивного нарастания µH₂O (падении температуры) по сравнению со снижением µ(K, Na)2O (см. прерывистую динию на днаграмме) можно непосредственно перейти к полю устойчивости парагенезиса Би, Кв, Пирр, который характерен для «слабо метаморфизованных песчаников», пропитанных сульфидами (в них отсутствует не только Фа, но и КлП и Аб) и представляющих собой, как выясняется, самостоятельную метасоматическую зону. Таким образом, есть все основания предполагать, что на месте изучаемых сплошных руд с включениями метасоматитов в свое время существовали метасоматическая колонка или отдельные метасоматические зоны, первоначально с мелкой вкрапленностью сульфидов, позже с интенсификацией процесса, с развитием густой вкрапленности и еще позже лишь с мелкими отдельными реликтами метасоматических зон и даже без них. Замещение силикатов рудными минералами, как уже указывал Д. С. Коржинский (⁸, ⁹), представляет собой непабежный результат кислотно-щелочной эволюции растворов с проявлением их «стадии выщелачивания», в среде основных и ультраосновных пород.

Проявление метасоматических зон как вместе, так и порознь указывает на неодновременный характер их развития здесь. Последовательное перекрытие трещии и других питающих каналов для эволюционирующих растворов делает возможным появление только кварц-полевошпатовых или плагиоклаз-клинопироксеновых или плагиоклаз-фаялитовых метасоматитов со сплошными сульфидами или без них. Последиие являются самостоятельной метасоматической зоной, а потому могут проявляться и без других зон, располагаясь непосредственно в контакте с габбро-долеритами, песчаниками и т. д. Позже сульфидной метасоматической зоны

часто проявляются поздние (безрудные) альбититы.

Следует подчеркнуть, что в процессе оруденения проявляется местная подвижность компонентов, принимаемых нами за инертные (Si, Al, Σ Fe). С постепенным растворением силикатов и выпосом их компонентов это пространство сразу же заполняется рудными минералами, компоненты которых черпаются из растворов. Изменение состава растворов с изменением их состояния (T, Eh, pH) в конце концов приводит к возникновению и рудной зональности (12), которая, по-видимому, определяется уже последовательностью разложения ацидокомплексных соединений, являющихся переносчиками Ti, Fe, Ni, Cu, c падением температуры и общей эволюцией растворов (4).

Институт геологии и геофизики Сибирского отделения Академии наук СССР Новосибирск Поступило 44 XI 1971

ПИТИРОВАННАЯ ЛИТЕРАТУРА

¹ А. Н. Винчелл, Оптическая минералогия, И.Л., 1949. ² В. В. Золотухии, Ю. Р. Васильев, Особенности механизма образования некоторых трапповых интрузий северо-запада Сибирской платформы, «Наука», 1967. ³ В. В. Золотухии, ДАН, 198, в. З (1974). ⁴ В. В. Золотухии, Геология и геофизика, № 7 (1971). ⁵ В. В. Золотухии, В. В. Рябов и др., Петрология Талнахской дифференцированной трапиовой интрузии и метаморфические изменения с иею связанные, «Наука», Новосибирск, 1973. ⁶ В. В. Золотухии, В сборн. Матер. по генетич. и экси. минерал., 8, «Наука», 1973. ⁷ Д. С. Коржинский, Физико-химические основы анализа парагенезиса минералов. Изд. АН СССР, 1957. ⁸ Д. С. Коржинский, Изв. АН СССР, сер. геол., № 12 (1957). ⁹ Д. С. Коржинский, Сбори. Матм. и свизь с ним полези. ископ., 1960. ¹⁰ Е. В. Свешникова, Л. И. Шабынии, Зап. Всесоюзн. мин. общ., 90, в. 2 (1961). ¹¹ В. Е. Трегер, Таблицы для оптического определения породообразующих минералов, 1958. ¹² В. М. Изоитко, Н. И. Коргуи, В сбори. Матер. конфер. норильск. геологов, Норильск, 4968.